

УДК 539.37 + 537.226.4

ЭЛЕКТРИЗАЦИЯ СЕГНЕТОЭЛЕКТРИЧЕСКИХ МОНОКРИСТАЛЛОВ NaNO_2 ПРИ ПЛАСТИЧЕСКОЙ ДЕФОРМАЦИИ

В. И. Николаев, Н. А. Перцев, Б. И. Смирнов

Впервые экспериментально изучалась электризация сегнетоэлектрического кристалла при пластической деформации. Установлено, что деформирование кристаллов NaNO_2 приводит к появлению тока между электродами, нанесенными на противоположные боковые грани образца, который резко возрастает при напряжениях, близких к пределу текучести. Исследовано поведение этого тока в процессе деформирования, обнаружено влияние доменной структуры на его знак и величину. Наблюдаемый деформационный ток связывается с переносом электрического заряда движущимися дислокациями.

К настоящему времени установлено, что пластическая деформация щелочно-галоидных кристаллов (ЩГК) [1-4] и полупроводниковых кристаллов типа $\text{Al}^{\text{II}}\text{B}^{\text{VI}}$ [5] приводит к появлению у образцов электрического поля. Подавляющее большинство исследователей считает, что электризация кристаллов при нагружении является следствием переноса электрического заряда движущимися дислокациями, хотя природа этого заряда в различных кристаллах может быть разной. Что касается возможности существования подобного эффекта в сегнетоэлектрических кристаллах, то этот вопрос до сих пор не изучался. Связано это, по-видимому, в значительной степени с тем, что большинство кристаллов в сегнетоэлектрическом состоянии малопластично. В то же время опыты с кристаллами NaNO_2 показали, что они могут деформироваться в сегнетофазе [6, 7], а некоторые особенности наблюдаемых при этом электропластических эффектов свидетельствуют о возможности существования в них заряженных дислокаций [8]. В настоящей работе монокристаллы NaNO_2 были использованы для исследования эффекта деформационной электризации в сегнетоэлектрических кристаллах.

1. Экспериментальная методика

Использовались монокристаллы нитрита натрия, выращенные из расплава способами Киропулоса и Степанова. Рабочие образцы выкалывались по плоскостям спайности и далее вырезались нитяной пилой так, чтобы они имели форму параллелепипеда с размерами $3 \times 3 \times 6$ мм. Деформирование осуществлялось путем одноосного сжатия с заданной скоростью перемещения захватов машины, жесткость которой составляла $M = 5 \times 10^2 \text{ кг} \cdot \text{мм}^{-1}$.

Известно [7], что кристаллы NaNO_2 могут деформироваться одиночным скольжением по системам (010) $[100]$ и (001) $[100]$. Для изучения каждой системы скольжения в отдельности использовались два типа образцов с различной кристаллографической ориентацией по отношению к оси сжатия.

Изучение электрических полей, возникающих в процессе пластической деформации, производилось аналогично [3] путем измерения тока I ,

протекающего в цепи электрометра (В7-30), присоединенного к одной из боковых граней образца через электрод из индиевой амальгамы; противоположная грань при этом заземлялась (рис. 1). Электроды располагались на гранях, параллельных линиям краевых дислокаций. Сопротивление измерительной цепи было много меньше сопротивления образца. Регистрация электрических токов производилась потенциометром КСП-4 синхронно с записью диаграмм деформирования. Вследствие гигроскопичности кристалла возможно появление паразитных токов (электролизного характера) по его поверхности при комнатной температуре и относительной влажности более 50 %. Поэтому опыты проводились при повышенной температуре 310 К, выше которой резко снижается поверхностная проводимость кристалла. Термостатирование образцов в эксперименте осуществлялось с точностью ± 0.2 К.

2. Результаты экспериментов

Типичные кривые изменения индуцированного электрического тока при деформировании кристаллов NaNO_2 (с ростовой доменной структурой) одиночным скольжением по системе (010) [100] вместе с диаграммой нагрузления представлены на рис. 1; там же показана схема опыта в этом

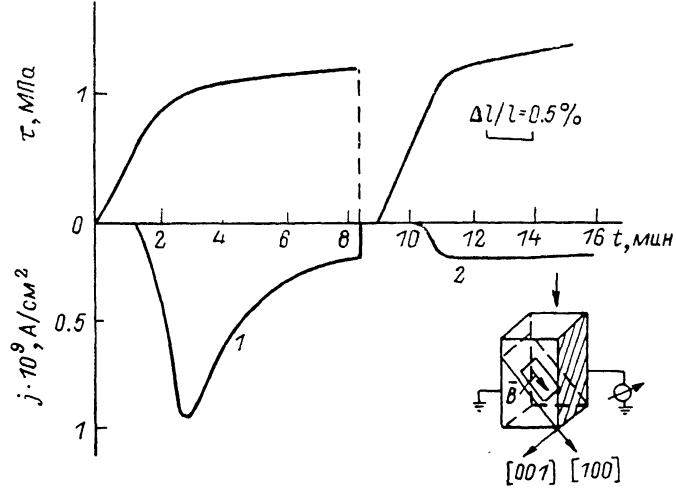


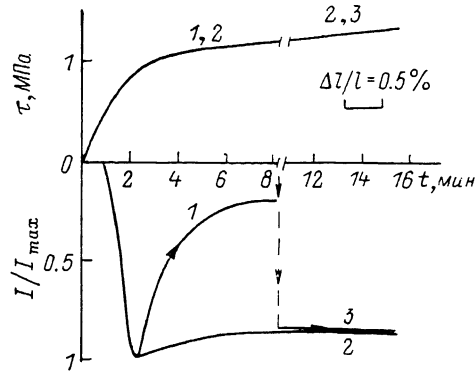
Рис. 1. Изменение напряжений течения τ и плотности тока $j = I/S$ (S — площадь электрода) при деформировании полидоменных кристаллов NaNO_2 по системе скольжения (010) [100].

l — высота образца, Δl — ее изменение при деформации. 1 — первое нагружение, 2 — повторное нагружение образца. Справа внизу изображены схема опыта и расположение дислокационной петли с вектором Бюргерса B в плоскости скольжения кристалла.

случае. Видно, что при первом нагружении ток в цепи образца появляется на ма́кроупругом участке, резко возрастая при напряжениях τ , близких к пределу текучести τ_y . На противоположных гранях регистрируются сигналы различных знаков. Далее на участке упрочнения величина тока достигает максимума, а затем быстро убывает до некоторого устойчивого уровня I_s . Подчеркнем, что ток остается достаточно большим на всем протяжении деформирования кристалла, а не обращается в нуль, как это наблюдалось в аналогичных условиях на ШГК [3]. Прекращение деформирования (разгрузка образца) в любой точке диаграммы нагружения приводит к исчезновению электрического сигнала, который при последующем деформировании восстанавливается по знаку и величине (рис. 1, 2).

В работе специально изучалось влияние 180-градусной доменной структуры образца на эффект электризации. Оказалось, что в поляризованном (монодоменном) образце устойчивый деформационный ток I_s приблизительно на порядок превышает значение, наблюдаемое в полидоменном

образце (рис. 2, 1, 2). Монодоменизация образца внешним электрическим полем после некоторой предварительной деформации приводила кному увеличению тока (рис. 2, 3). Знак токового сигнала на электрометре зависел от направления вектора спонтанной поляризации P_s в кристалле. Если к грани образца до деформирования прикладывался положительный потенциал, то знак деформационного тока I_s с этой грани был положительным, и, наоборот, отрицательный потенциал приводил к отрицательному току. Нагрев



и охлаждение не влияли на величину тока I_s . Время деформации Δt при этом было одинаковым для всех трех образцов. Установка для измерения тока и напряжения течения показана на рисунке 1.

Рис. 2. Изменение напряжений течения τ и тока в относительных единицах I/I_{\max} во время деформирования образцов с плоскостью скольжения (010) [100].

1 — в полидоменном образце с исходной ростовой доменной структурой; 2 — в монодоменном образце; 3 — после монодоменизации образца 1 в момент, указанный стрелкой.

монодоменного образца выше температуры сегнетоэлектрического фазового перехода T_c с последующим охлаждением переводил кристалл снова в полидоменное состояние, и деформационный ток при этом снижался примерно на порядок. В зависимости от степени приближения к монодоменному состоянию можно было наблюдать постепенное увеличение тока I_s .

Существенно иное поведение деформационного тока I отмечалось в образцах с системой скольжения (001) [100] (рис. 3). В этом случае дефор-

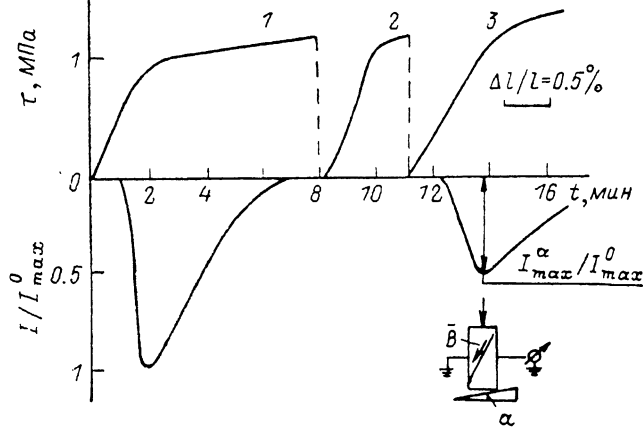


Рис. 3. Изменение величины тока в относительных единицах I/I_{\max}^0 и напряжений течения τ во время деформирования образцов с плоскостью скольжения (001) [100]. 1 — однородное нагружение, 2 — повторное нагружение, 3 — неоднородное нагружение через клин. Справа внизу схема неоднородного нагружения образца через клин.

мационный ток не зависел от состояния доменной структуры образца и по мере деформации на участке упрочнения стремился к нулю. При повторном нагружении предварительно деформированного образца (рис. 3, 2) эффект практически не наблюдался. Такое же поведение тока ранее было обнаружено в ЩГК [3], где показано, что электризация образца связана с неоднородностью деформации на начальном этапе нагружения. С целью проверки справедливости этого предположения для нашего случая был проведен опыт, подобный описанному в [3]. Заключался он в следующем. Сначала кристалл деформировался до момента исчезновения тока I и разгружался. Затем он деформировался вновь, но уже заведомо неоднородно путем нагружения через клин, как это показано справа внизу на рис. 3. Степень неоднородности определялась величиной угла клина α . В результате оказалось, что при повторном нагружении образца с кли-

ном снова наблюдается электрический ток, который стремится к нулю, пройдя через максимум I_{\max}^a (рис. 3, 3). Значение I_{\max}^a возрастает с увеличением α .

3. Обсуждение результатов

Рассмотрим возможные причины появления электрических токов при деформации NaNO_2 . Прежде всего подчеркнем, что наблюдаемая нами электризация не является прямым следствием пьезоэлектрического эффекта в кристалле. Это следует из факта, что значительный ток в цепи образца появляется при первом его нагружении лишь при напряжениях t , близких к пределу текучести τ_y ; при повторном нагружении деформированного образца ток на выбранном пределе измерения также заметен только при напряжениях $t \geq \tau_y$. В отличие от этого ток, обусловленный пьезоэффектом, должен быть максимальным на упругом участке, где скорость изменения напряжений макросимальна.

Из вышесказанного следует, что электризация NaNO_2 связана именно

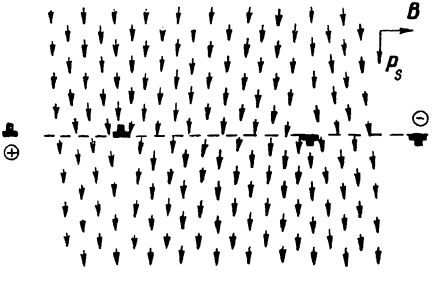


Рис. 4. Схема расположения электрических диполей, созданных полярными группами NO_2^- , в плоскости (001) кристалла NaNO_2 , содержащего краевые дислокации противоположного механического знака.

Вектор Бюргерса B направлен вдоль оси [100], дислокации лежат вдоль [001]. P_s — вектор спонтанной поляризации кристалла, параллельный оси [010].

с процессом пластической деформации. Логично предположить, что она, так же как вЩГК и полупроводниковых кристаллах, обусловлена движением дислокаций, обладающих собственным электрическим зарядом.

Обсудим вопрос о физической природе дислокационных зарядов в NaNO_2 . Как теоретически показано в [9], в любом сегнетоэлектрическом кристалле дислокации определенных типов должны иметь так называемый «поляризационный» заряд. В случае NaNO_2 причину возникновения такого заряда можно проиллюстрировать с помощью схемы расположения электрических диполей, соответствующих полярным группам NO_2^- , в кристалле с дислокациями (рис. 4). Как видно из схемы, на линии краевой дислокации, относящейся к системе (010) [100], обрываются цепочки диполей, непрерывные в идеальном кристалле. Это приводит к появлению у дислокации эффективного электрического заряда с линейной плотностью q_p . Величина q_p может быть рассчитана по формуле [9]

$$q_p = P_s \cdot (B \times \xi), \quad (1)$$

где P_s — вектор спонтанной поляризации (для NaNO_2 при $T=310$ К $P_s=0.117 \text{ Кл} \cdot \text{м}^{-2}$ [10]), B — вектор Бюргерса прямолинейной дислокации, ξ — орт ее линии. Исходя из (1), краевые дислокации в системе (010) [100] имеют при $T=310$ К значительный заряд $q_p=4.2 \cdot 10^{-11} \text{ Кл} \cdot \text{м}^{-1}$, причем дислокации противоположного механического знака обладают разноименными электрическими зарядами (рис. 4). В системе же скольжения (001) [100] у всех дислокаций $q_p=0$, поскольку в этом случае плоскость скольжения параллельна P_s .

Представление о существовании поляризационного заряда q_p хорошо объясняет экспериментальные результаты для устойчивого тока I_s в NaNO_2 .

С этих позиций появление противоположных по знаку сигналов с противолежащих граней образца является следствием движения в противоположные стороны дислокаций разного механического знака, несущих заряды $+q_p$ и $-q_p$. Далее (1) показывает, что при изменении направления

вектора \mathbf{P}_s происходит смена знака q_p . Поэтому после переключения поляризации ток I_s должен изменить направление, что и демонстрируется описанными выше опытами. Указанное свойство заряда q_p объясняет также резкое увеличение тока I_s при монодоменизации образца. Дело в том, что в разных доменах полидоменного кристалла одна и та же дислокация будет иметь противоположный по знаку заряд q_p , что уменьшает I_s . Наконец, понятным становится отсутствие устойчивого тока ($I_s=0$) в образцах, деформируемых скольжением по системе (001) [100], где $q_p=0$.

По данным о величине тока I_s в монодоменном кристалле можно определить экспериментальное значение поляризационного заряда q_p . В ток I_s свой вклад дает как поток заряженных краевых дислокаций, так и поток винтовых дислокаций, не имеющих собственного заряда, при движении которых происходит перенос зарядов краевыми перегибами [9]. В этой ситуации дислокационный ток описывается выражением

$$I_s = \frac{q_p S}{B_z} \dot{\epsilon}, \quad (2)$$

где $\dot{\epsilon}=l/l$ — скорость пластической деформации, l — длина образца, S — площадь грани кристалла с электродом, B_z — проекция вектора Бюргерса дислокаций на ось сжатия, q_p — плотность заряда на краевых дислокациях. Как видно из (2), $I_s \sim \dot{\epsilon}$, что подтверждается экспериментами. Найденная на основе (2) и данных опытов (рис. 1) величина поляризационного дислокационного заряда q_p в системе (010) [100] оказалась равной примерно $4 \cdot 10^{-11}$ Кл·м⁻¹, что согласуется с приведенной выше теоретической оценкой.

Регистрация деформационного тока на начальной стадии пластического течения образцов с системой скольжения (001) [100] (рис. 3), где $q_p=0$, свидетельствует о существовании в кристаллах NaNO₂ дислокационных зарядов и другой природы. Действительно, как уже отмечалось, подобный токовый сигнал вблизи площадки текучести наблюдался в аналогичных опытах на ЩГК [3, 4] и был объяснен появлением у краевых дислокаций в системе скольжения {110} <110> электрического заряда, одинакового для дислокаций разных механических знаков. Такой заряд образуется в результате захвата ядром движущейся дислокации однотипных заряженных вакансий (cationных или анионных) [2].

Учитывая сходство ионной структуры ядер краевых дислокаций в системах (001) [100] NaNO₂ и {110} <110> ЩГК, можно предположить, что в нитrite натрия также возникают вакансационные дислокационные заряды ионного происхождения. Тогда все краевые дислокации в системе (001) [100] будут иметь одинаковый по знаку электрический заряд и должны создавать деформационный ток только при несбалансированности дислокационных потоков во встречных направлениях. В однородно нагруженном кристалле такая несбалансированность наблюдается вследствие естественных неоднородностей образца (перекосов), которые по мере деформирования ликвидируются. Это объясняет отсутствие устойчивого электрического тока I_s в данной системе скольжения и кратковременное появление токового сигнала на начальной стадии пластического течения образцов и при нагружении его через клин (рис. 3).

Краевые дислокации в системе скольжения (010) [100] NaNO₂ также должны обладать вакансационным зарядом q_p , который ответствен за возникновение максимума на зависимостях $I(t)$ вблизи предела текучести (рис. 1, 2), но не дает вклада в устойчивый ток I_s .

Таким образом, экспериментальные данные по деформационной электризации кристаллов NaNO₂ свидетельствуют в пользу того, что дислокации в сегнетоэлектрических кристаллах имеют электрический заряд, причем в общем случае он складывается из поляризационного заряда, обусловленного спонтанной поляризацией P_s , и вакансационного заряда, своего кристаллам с ионным характером химической связи.

Л и т е р а т у р а

- [1] Урусовская Л. А. УФН, 1968, т. 96, № 1, с. 39—60.
- [2] Whitworth R. W. Adv. in Phys., 1975, vol. 24, № 2, p. 203—304.
- [3] Куличенко А. Н., Смирнов Б. И. ФТТ, 1984, т. 26, № 11, с. 3294—3299.
- [4] Katōoka T., Colombo L., Li J. C. M. Phil. Mag. A, 1984, vol. 49, № 3, p. 409—423.
- [5] Осипьян Ю. А., Петренко В. Ф. ЖЭТФ, 1975, т. 69, № 4, с. 1362—1371.
- [6] Takagi Y., Gesi K. Japan J. Appl. Phys., 1966, vol. 5, № 11, p. 1118.
- [7] Николаев В. И., Смирнов Б. И., Иванцов В. А. ФТТ, 1985, т. 27, № 8, с. 2519—2521.
- [8] Николаев В. И., Перцев Н. А., Смирнов Б. И. В кн.: Пластическая деформация материалов в условиях внешних энергетических воздействий. Новокузнецк, 1988, с. 262—263.
- [9] Перцев Н. А. ФТТ, 1988, т. 30, № 9.
- [10] Hamano K. J. Phys. Soc. Jap., 1973, vol. 35, № 1, p. 157—163.

Физико-технический институт
им. А. Ф. Иоффе АН СССР
Ленинград

Поступило в Редакцию
28 апреля 1988 г.